

МОСКОВСКИЙ ФИЗИКО-ТЕХНИЧЕСКИЙ ИНСТИТУТ  
(НАЦИОНАЛЬНЫЙ ИССЛЕДОВАТЕЛЬСКИЙ УНИВЕРСИТЕТ)

Физтех-школа аэрокосмических технологий

# Отчёт о выполнении лабораторной работы

## 1.4.5

### Изучение колебаний струны

Соболевский Фёдор Александрович

Б03-109

Октябрь 2021

# 1 Аннотация

В работе изучены поперечные стоячие волны на тонкой натянутой струне. Измерены собственные частоты колебаний струны, проверено условие образования стоячих волн. Также измерена скорость распространения поперечных волн на струне и исследована её зависимость от натяжения струны. По результатам измерений вычислена погонная плотность струны.

## 2 Теоретические сведения

Струной в акустике называют однородную тонкую гибкую упругую нить. В данной работе изучаются поперечные колебания стальной гитарной струны, натянутой горизонтально и закрепленной между двумя неподвижными зажимами. Основное свойство струны — гибкость — обусловлено тем, что её поперечные размеры малы по сравнению с длиной. Это означает, что напряжение в струне может быть направлено только вдоль неё, и позволяет не учитывать изгибные напряжения, которые могли бы возникать при поперечных деформациях (изгибе струны).

В натянутой струне возникает поперечная упругость, т.е. способность сопротивляться всякому изменению формы, происходящему без изменения объема. При вертикальном смещении произвольного элемента струны, возникают силы, действующие на соседние элементы, и в результате вся струна приходит в движение в вертикальной плоскости. Передача возбуждения представляет собой поперечные бегущие волны, распространяющиеся с некоторой скоростью в обе стороны от места возбуждения.

Рассмотрим гибкую однородную струну, в которой создано натяжение  $T$ , и получим дифференциальное уравнение, описывающее её малые поперечные свободные колебания. Направим ось  $x$  вдоль струны в положении равновесия. Форму струны будем описывать функцией  $y(x, t)$ . Угол  $\alpha$  наклона касательной к струне в точке относительно горизонтального направления в любой момент совпадает с углом наклона касательной к графику функции, то есть  $\tan \alpha = \frac{\delta y}{\delta x}$

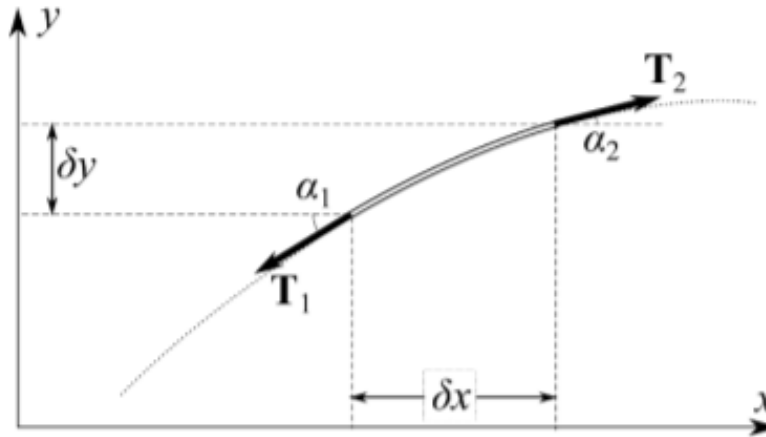


Рис. 1: Схема колебаний струны на промежутке малой длины

Рассмотрим элементарный участок струны, находящийся в точке  $x$ , имеющий длину  $\delta x$  и массу  $\delta m = \rho_l \delta x$  (см. рисунок 1), где  $\rho_l$  [кг/м] — погонная плотность струны. При отклонении от равновесия на выделенный элемент действуют силы натяжения  $T_1$  и  $T_2$ , направленные по касательной к струне. Их вертикальная составляющая будет стремиться вернуть рассматриваемый участок струны к положению равновесия, придавая элементу некоторое вертикальное ускорение  $\frac{\delta^2 y}{\delta t^2}$ . Угол  $\alpha$  зависит от координаты вдоль струны и различен в точках приложения сил  $T_1$  и  $T_2$ . Таким образом, второй закон Ньютона для вертикального движения элемента струны запишется в следующем виде:

$$\delta m \frac{\delta^2 y}{\delta x^2} = -T_1 \sin \alpha_1 + T_2 \sin \alpha_2 \quad (1)$$

Учитывая, что рассматриваемые отклонения струны от положения равновесия малы, можем сделать ряд упрощений:

1. Длина участка струны в смещенном состоянии практически равна длине участка в положении равновесия, поэтому добавочным напряжением вследствие удлинения струны при деформации можно пренебречь. Следовательно, силы  $T_1$  и  $T_2$  по модулю равны силе натяжения струны:  $T_1 \approx T_2 \approx T$ .
2. Углы наклона  $\alpha$  малы, поэтому  $\operatorname{tg} \alpha \approx \sin \alpha \approx \alpha$ , и, следовательно, можно положить  $\alpha \approx \frac{\delta y}{\delta x}$ .

Разделим обе части уравнения движения (1) на устремим размер элемента к нулю,  $\delta x \rightarrow 0$ . Тогда уравнение (1) примет вид

$$\rho_l \frac{\delta^2 y}{\delta t^2} = \frac{T_2 \sin \alpha_2 - T_1 \sin \alpha_1}{\delta x} \approx T \frac{\alpha_2 - \alpha_1}{\delta x} \longrightarrow T \frac{\delta \alpha}{\delta x}$$

Подставляя  $\alpha = \frac{\delta y}{\delta x}$  и величину с размерностью скорости

$$u = \sqrt{\frac{T}{\rho_l}}, \quad (2)$$

получаем уравнение свободных малых поперечных колебаний струны, или волновое уравнение:

$$\frac{\delta^2 y}{\delta x^2} = u^2 \frac{\delta^2 y}{\delta t^2} \quad (3)$$

Покажем, что введенная величина  $u$  - скорость распространения волны на струне. Рассмотрим произвольную функцию вида  $f(x - ut)$ , описывающую возмущение струны произвольной формы, движущееся по струне поступательно со скоростью  $u$  вдоль оси  $x$ , не меняя своей формы. При подстановке её в уравнение (3) получается верное равенство:

$$\frac{\delta^2 f}{\delta x^2} = (-u)^2 f'' = u^2 \frac{\delta^2 f}{\delta t^2},$$

где  $f''$  - производная функции по аргументу  $(x - ut)$ .

Общее решение уравнения (3) представимо в виде суммы двух волн произвольной формы, бегущих в противоположные стороны со скоростями  $\pm u$ :

$$y(x, t) = y_1(x - ut) + y_2(x + ut),$$

где  $y_1$  и  $y_2$  - произвольные функции, вид которых в конкретной задаче определяется из начальных и граничных условий. В случае гармонических волн решение представляется в виде

$$y(x, t) = a \cos(\omega t - kx) + b \cos(\omega t + kx). \quad (4)$$

Выражение (4) представляет собой линейную комбинацию (суперпозицию) двух гармонических волн с амплитудами  $a$  и  $b$ , бегущих навстречу друг другу со скоростью

$$u = \frac{\omega}{k} = \lambda \nu,$$

где  $\lambda$  - длина волны,  $\nu$  - частота,  $k$  - волновое число (пространственная частота). При возбуждении струны периодической гармонической силой её колебания будут описываться формулой (4).

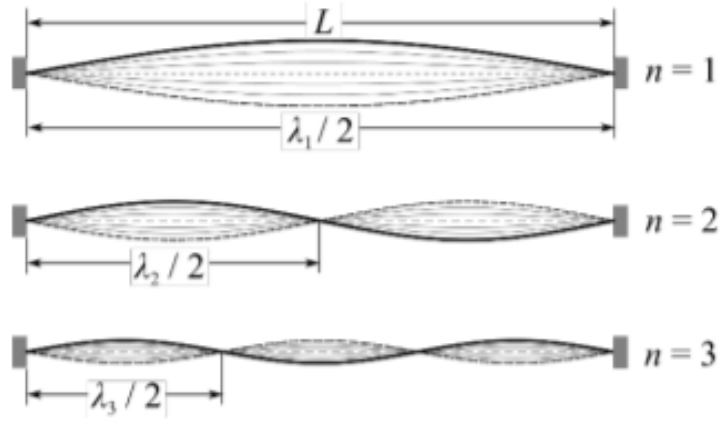


Рис. 2: Стоячие волны для  $n = 1, 2, 3$

Найдем вид свободных колебаний струны с закрепленными концами. Пусть струна закреплена в точках  $x = 0$  и  $x = l$ . Концы струны не колеблются, поэтому  $y(0, t) = 0$  и  $y(L, t) = 0$  при любых  $t$ . Используя формулу (4), находим

$$y(0, t) = a \cos \omega t + b \cos \omega t = 0,$$

откуда следует, что  $a = -b$ . После тригонометрических преобразований выражение (4) примет вид

$$y(x, t) = 2a \sin kx \cdot \sin \omega t \quad (5)$$

Колебания струны, описываемые данной функцией, называются стоячими волнами. Из выражения (5) видно, что стоячая волна может быть получена как суперпозиция двух гармонических бегущих навстречу друг другу волн с равными амплитудами.

Точки струны, в которых  $\sin kx = 0$ , в любой момент времени неподвижны. Такие точки называются узлами стоячей волны. Остальные участки струны совершают в вертикальной плоскости гармонические колебания с частотой  $\nu = \frac{\omega}{2\pi} = \frac{u}{\lambda}$ . Амплитуда колебаний распределена вдоль струны по гармоническому закону:  $y_0(x) = 2a \sin kx$ . В точках, где  $\sin kx = 1$ , амплитуда колебаний максимальна, такие точки называются пучностями.

Используя второе граничное условие  $y(L, t) = 0$ , найдём условие образования на струне стоячих волн:  $y(x, t) = 2a \sin kL \cdot \sin \omega t$ , откуда

$$\sin kL = 0 \longrightarrow kL = \frac{\pi n}{2}, n \in \mathbb{N}$$

Таким образом, стоячие волны на струне с закреплёнными концами образуются, только если на длине струны укладывается целое число полуволин:

$$\lambda_n = \frac{2L}{n}.$$

На рисунке 2 показана картина стоячих волн для  $n = 1, 2, 3$ . Число  $n$  показывает число пучностей колеблющейся струны (при этом число узлов -  $n+1$ ). Поскольку длина волны однозначно связана с её частотой, струна может колебаться только с определёнными частотами:

$$\nu_n = \frac{u}{\lambda_n} = \frac{n}{2L} \sqrt{\frac{T}{\rho_l}} \quad (6)$$

Разрешённые частоты  $\nu_n$  называют собственными частотами колебаний струны. Таким образом, спектр собственных частот тонкой струны определён её погонной плотностью  $\rho_l$ , внешней силой натяжения  $T$  и длиной струны  $L$  и не зависит от модуля Юнга материала струны.

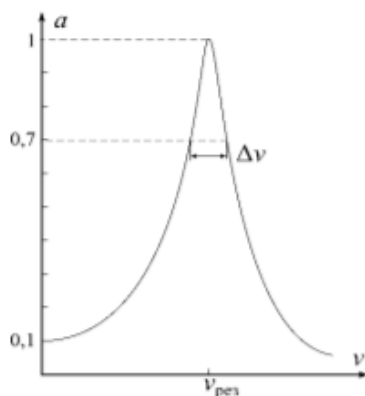


Рис. 3: АЧХ вынужденных колебаний

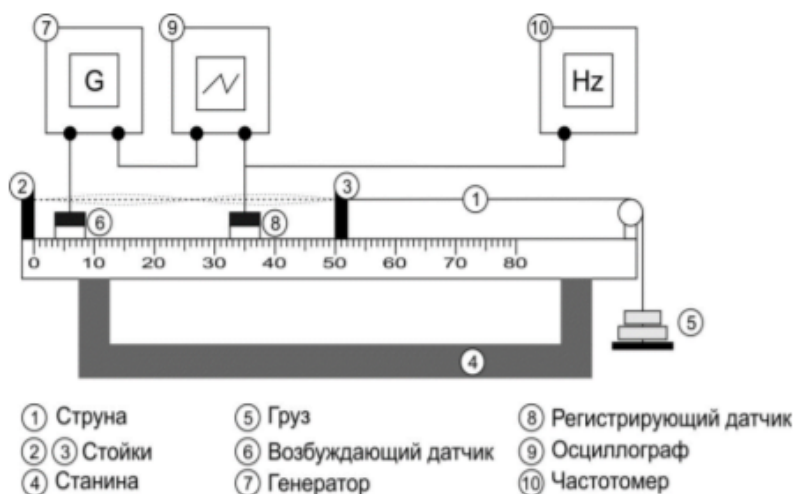


Рис. 4: Схема экспериментальной установки

При колебаниях реальной струны всегда имеет место потеря энергии (часть теряется вследствие трения о воздух; другая часть уходит через неидеально закрепленные концы струны и т.д.). Поддержание незатухающих колебаний в струне может осуществляться точечным источником, в качестве которого в данной работе используется электромагнитный вибратор. Для эффективной раскачки колебаний используется явление резонанса — вынуждающая частота  $\nu$  должна совпадать с одной из собственных частот струны  $\nu_n$ . Когда потери энергии в точности компенсируются энергией, поступающей от вибратора, колебания струны становятся стационарными и на ней можно наблюдать стоячие волны. Оценить затухание колебаний можно через добротность колебательной системы. В случае вынужденных колебаний расчёт добротности производится по амплитудно-частотной характеристике (АЧХ) колебаний (см. рисунок 3). Для расчётов в данном опыте воспользуемся известным из теории колебаний результатом: добротность колебательной системы связана с резонансной частотой  $\nu_{\text{рез}}$  и шириной резонансной кривой  $\Delta\nu$  соотношением

$$Q = \frac{\nu_{\text{рез}}}{\Delta\nu}$$

где ширина резонансной кривой  $\Delta\nu$  измеряется на уровне амплитуды, составляющей 0,7 от амплитуды в резонансе.

Схема экспериментальной установки приведена на рисунке 4. Стальная гитарная струна 1 закрепляется в горизонтальном положении между двумя стойками с зажимами 2 и 3, расположенными на массивной станине 4. Один конец струны закреплен в зажиме 2 неподвижно. К противоположному концу струны, перекинутому через блок, прикреплен платформа с груза-

ми **5**, создающими натяжение струны. Зажим **3** можно передвигать по станине, устанавливая требуемую длину струны. Возбуждение и регистрация колебаний струны осуществляются с помощью электромагнитных датчиков (вибраторов), расположенных на станине под струной. Электромагнитный датчик **6** подключен к звуковому генератору **7** и служит для возбуждения колебаний струны, частота которых измеряется с помощью частотомера **10** (в некоторых установках частотомер встроен в генератор). Колебания струны регистрируются с помощью электромагнитного датчика **8**, сигнал с которого передается на вход осциллографа **9**. Разъёмы, через которые датчики с помощью кабелей соединяются с генератором и осциллографом, расположены на корпусе станины.

### 3 Оборудование и инструментальные погрешности

**Оборудование:** струна, закреплённая на станине с помощью подвижной и неподвижной стоек, набор грузов; подвес для грузов, подвешенный через неподвижный блок к струне; возбуждающий и регистрирующий электромагнитные датчики, звуковой генератор, осциллограф, частотомер.

Измерительные приборы, используемые в данной работе (осциллограф, частотомер), достаточно точные и имеют небольшие систематические погрешности по сравнению со случайной ошибкой измерений, поэтому ими в данной работе можно пренебречь.

## 4 Результаты измерений и обработка экспериментальных данных

### 4.1 Предварительные расчёты

Перед началом работы были проведены предварительные расчёты, чтобы оценить первую собственную частоту колебаний струны. Масса подвеса и грузов в первом опыте  $m_1 = 919,4$  г, сила натяжения струны  $T_1 = m_1 g = 9,01$  Н. Указанное на установке значение погонной плотности струны  $\rho_l = 568,4$  мг/м. Из формулы (6) первая собственная частота колебаний струны

$$\nu_{\text{пред}} = \frac{1}{2L} \sqrt{\frac{T}{\rho_l}} \approx 125,9 \text{ Гц.}$$

Экспериментальное значение  $\nu_1 = 124,4$  Гц достаточно близко к вычисленному. Отсюда видно, что описанные теоретические закономерности в данном опыте применимы.

### 4.2 Измерение собственных частот струны

Измерение собственных частот было проведено для 5 различных значений натяжения  $T$  и проводилось с помощью осциллографа. При нахождении подходящей частоты колебания струны были визуально самыми большими. Это говорит о достаточной для проведения эксперимента точности данного прибора. Результаты измерений представлены в таблице 1.

№ опыта	$m$ подвеса с грузом, г	$T$ , Н	$\nu_1$ , Гц	$\nu_2$ , Гц	$\nu_3$ , Гц	$\nu_4$ , Гц	$\nu_5$ , Гц
1	919,4	9,01	124,4	260,4	376,2	503,0	632,6
2	1420,8	13,92	157,7	317,3	477,5	632,4	793,7
3	1915,9	18,78	181,4	363,7	546,5	728,6	910,2
4	2407,0	23,59	203,4	407,5	611,7	816,7	1020,7
5	2863,2	28,06	220,9	443,4	668,1	889,4	1116,0

Таблица 1: Собственные частоты струны для разных натяжений

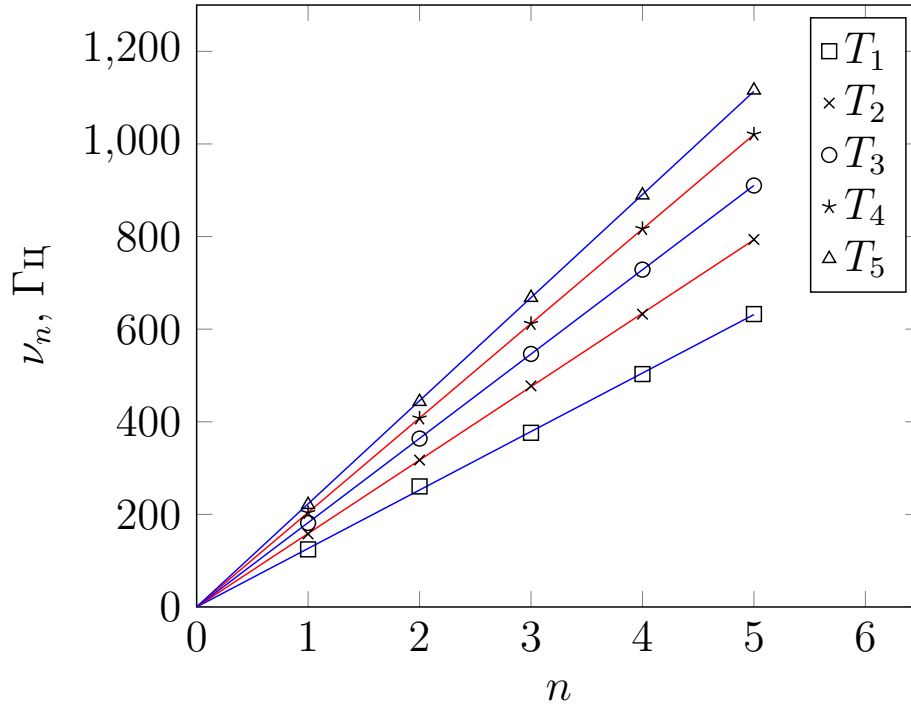


Рис. 5: Зависимость  $\nu_n$  от  $n$

### 4.3 Вычисление скоростей распространения волн

Для нахождения скоростей  $u$  распространения волн на струне был использован метод построения наилучших прямых. Зависимость  $\nu_n$  от  $n$  можно найти из выражений (2) и (6):

$$\nu_n = \frac{u}{2L}n$$

Данная зависимость линейная. Пусть  $k = \frac{u}{2L}$ . Построим прямые, проходящие через начало координат (см. рисунок 5), и найдём для каждого значения натяжения  $T$  коэффициент  $k$  методом наименьших квадратов:

$$k = \frac{\langle n\nu_n \rangle}{\langle n^2 \rangle}$$

Погрешность вычисления  $k$  найдём как

$$\sigma_k = \sqrt{\frac{1}{N-1} \left( \frac{\langle \nu_n^2 \rangle}{\langle n^2 \rangle} - k^2 \right)}$$

Найденные значения  $k$ ,  $u$  и их погрешности при разных  $T$  представлены в таблице 2.

№ опыта	$T$ , Н	$k$ , Гц	$\sigma_k$ , Гц	$u$ , м/с	$\sigma_u$ , м/с
1	9,01	126,3	0,6	126,3	0,6
2	13,92	158,60	0,19	158,60	0,19
3	18,78	182,07	0,06	182,07	0,06
4	23,59	204,06	0,08	204,06	0,08
5	28,06	222,72	0,26	222,72	0,26

Таблица 2: Скорость распространения волн на струне при разных натяжениях

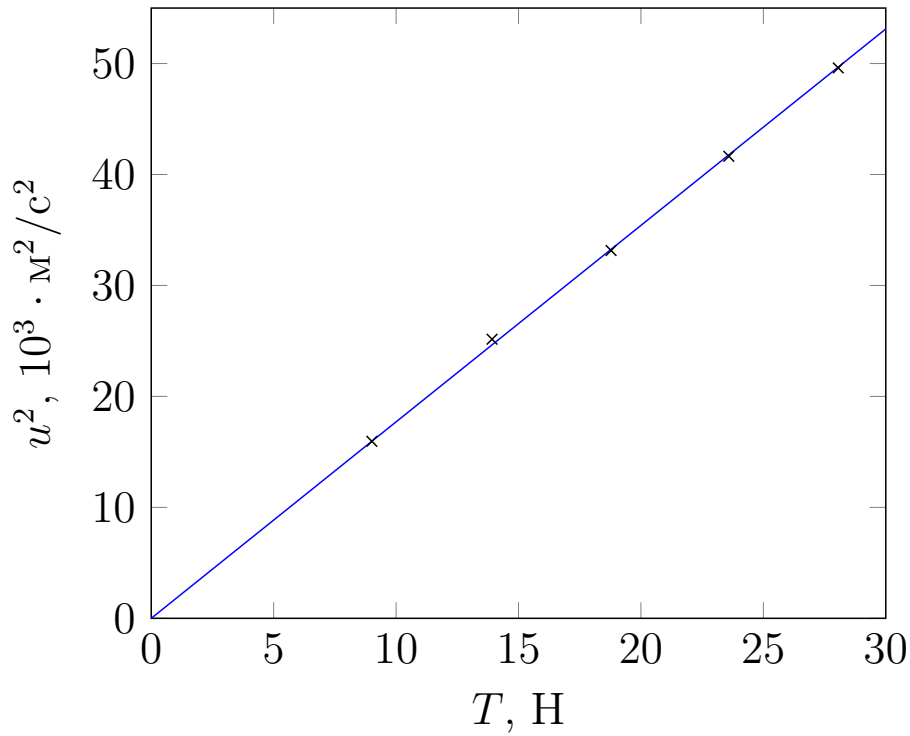


Рис. 6: Зависимость  $u^2$  от  $T$

#### 4.4 Вычисление погонной плотности

По найденным значениям скоростей  $u$  можно вычислить погонную плотность стали, снова применяя метод построения наилучших прямых. Зависимость  $u^2$  от  $T$  можно найти из выражения (2):

$$u^2 = \frac{1}{\rho_l} T.$$

Данная зависимость также линейная. Пусть  $k = \frac{1}{\rho_l}$ . Построим прямую, проходящую через начало координат (см. рисунок 6), и найдём для неё коэффициент  $k$  и  $\sigma_k$  методом наименьших квадратов:

$$k = \frac{\langle T u^2 \rangle}{\langle T^2 \rangle} = 1770,6 \text{ м/кг},$$

$$\sigma_k = \sqrt{\frac{1}{N-1} \left( \frac{\langle u^4 \rangle}{\langle T^2 \rangle} - k^2 \right)} = 6,0 \text{ м/кг}.$$

Отсюда значение  $\rho_l = \frac{1}{k} = 564,7 \cdot 10^{-6} \text{ кг/м}$ . Погрешность определения погонной плотности  $\sigma_\rho$  связана с  $\sigma_k$  соотношением

$$\left( \frac{\sigma_\rho}{\rho_l} \right)^2 = (-1)^2 \left( \frac{\sigma_k}{k} \right)^2, \sigma_\rho = \frac{\rho_l}{k} \sigma_k = 1,9 \cdot 10^{-6} \text{ кг/м}.$$

Окончательный результат:

- $\rho_l = (564,7 \pm 1,9) \cdot 10^{-6} \text{ кг/м}$ .

#### 4.5 Вычисление добротности системы

В пятом опыте ( $T = 28,632 \text{ Н}$ ) первая резонансная частота составила  $\approx 222 \text{ Гц}$ . Ширина резонансной кривой для данного значения составила  $0,28 \text{ Гц}$ . Отсюда добротность струны как колебательной системы



$$Q = \frac{\nu_{\text{рез}}}{\Delta\nu} \approx 792,86$$

Данное значение достаточно высокое для колебательной системы, исследуемой в учебных целях, что говорит об отсутствии необходимости делать поправку на потери энергии в системе.

## 5 Обсуждение результатов и вывод

Полученный результат  $\rho_l = 564,7 \cdot 10^{-6}$  кг/м отличается от указанного на установке (измеренного непосредственным взвешиванием,  $\rho_l = 568,4 \cdot 10^{-6}$  кг/м) меньше, чем на  $2\sigma_\rho$ . Относительная погрешность измерений ( $\epsilon_\rho = 0,65\%$ ) также невелика. Это говорит о применимости данного метода при измерении погонной плотности наравне с прямым взвешиванием. Все рассмотренные теоретические закономерности выполнились в пределах точности эксперимента.